

V.2  
24 May,  
2007

arXiv:0705.2529 17 May 2007

**Surface waves on metal-dielectric boundaries on the frequency of  $\omega_{pl}$**

V.S.Zuev and G.Ya.Zueva

The P.N.Lebedev Physical Institute of RAS  
53 Leninsky pr., 119991 Moscow, Russia  
vizuev@sci.lebedev.ru

Abstract

Surface optical plasmons on metal-dielectric boundaries of various shapes are studied. The study features by the exploration of plasmons of the frequency that is larger than  $\omega_{pl} / \sqrt{2}$  and approximately equal to  $\omega_{pl}$ . These plasmons exist on thin films, thin cylinders, and on spheres. Such a plasmon does not exist on a single surface. For applications the use of plasmons of the  $\sim \omega_{pl}$  frequency means the promotion of nanophotonics devices into a short wavelength range. For Ag this means the promotion to the wavelength of 140 nm.

Поверхностные волны на границах раздела металл-диэлектрик на частоте  $\omega_{pl}$

В.С.Зуев, Г.Я.Зуева

Физический институт им. П.Н.Лебедева РАН  
119991 Ленинский пр-т, 53, Москва, Россия  
vizuev@sci.lebedev.ru

1. Плоский слой

Геометрия задачи изображена на рис.1. Пока не будем уточнять, что есть металл, а что – диэлектрик. Будем считать, что  $\epsilon_1 = \epsilon_3$ .

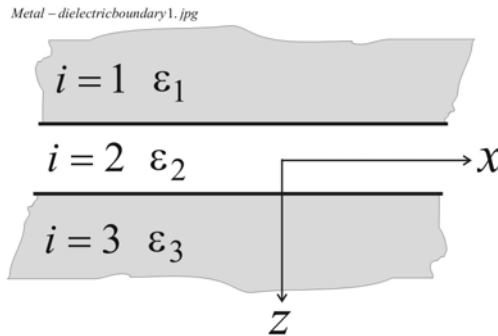


Рис.1.

Речь идет о собственных волнах неоднородного пространства, изображенного на рис.1. Ищем решение в виде поверхностной *TM* - волны. Конечно, это не единственное возможное решение, но именно оно интересует нас. Поле монохроматическое, зависимость от времени  $e^{-i\omega t}$ . у *TM* - волны магнитное поле имеет только поперечную компоненту  $\vec{H} = \vec{a}_y H_y(x, z, t)$ , электрическое поле имеет две компоненты:  $\vec{E} = \vec{a}_x E_x + \vec{a}_z E_z$ . Ищем волну в виде

$$H_y^{(j)}(x, z, t) = H_y^{(j)} e^{-\kappa_z^{(j)} z} e^{ik_x x} e^{-i\omega t} \tag{1}$$

Плоские волны во всех 3-х средах имеют вид  $H_y^{(j)}(x, z, t) = H_y^{(j)} e^{ik_z^{(j)}z} e^{ik_x x} e^{-i\omega t}$ . Для простоты зависимость от  $y$  не вводим. Все магнитные проницаемости  $\mu_i = 1$ . Для всех сред имеет место соотношение  $k_x^2 + k_z^2 = (\omega/c)^2 \varepsilon$ . Это равенство есть дисперсионное уравнение для плоских волн в однородной (в том числе – в некоторой части пространства) среде. У поверхностных волн  $k_z^2 = -\kappa_z^2 < 0$ . При извлечении корня возникают два знака. Выбор знака определяется выбором направления затухания волны вдоль оси  $z$ .

В задаче имеется четыре волны вида (1), причем все они имеют одно и то же  $k_x$ . Это условие возникает вследствие граничных условий равенства тангенциальных компонент полей. В среде  $i = 1$  имеется одна волна с индексом  $j = 1$ , убывающая в направлении  $z \rightarrow -\infty$ . У этой волны  $k_z^{(j=1)} = -i\sqrt{k_x^2 - (\omega/c)^2 \varepsilon_1} = -i\kappa_{1z}$ . В среде  $i = 2$  имеются две волны  $j = 2$  и  $j = r$ ,  $k_z^{(j=2)} = i\sqrt{k_x^2 - (\omega/c)^2 \varepsilon_2} = i\kappa_{2z}$  и  $k_z^{(j=r)} = -i\sqrt{k_x^2 - (\omega/c)^2 \varepsilon_2} = -i\kappa_{2z}$ . Волна  $j = 2$  затухает в направлении  $z \rightarrow \infty$ , волна  $j = r$  затухает в направлении  $z \rightarrow -\infty$ . В среде  $i = 3$  имеется одна волна,  $k_z^{(j=3)} = i\sqrt{k_x^2 - (\omega/c)^2 \varepsilon_3} = i\kappa_{3z}$ . Она затухает в направлении  $z \rightarrow \infty$ . Выбрав  $\varepsilon_3 = \varepsilon_1$  получаем  $\kappa_{3z} = \kappa_{1z}$ . Выпишем волны (зависимость от времени опустим):

$$\begin{aligned} H_y^{(1)}(x, z) &= H_{1y} e^{\kappa_{1z}z} e^{ik_x x}, & H_y^{(2)}(x, z) &= H_{2y} e^{-\kappa_{2z}z} e^{ik_x x}, \\ H_y^{(r)}(x, z) &= H_{ry} e^{\kappa_{2z}z} e^{ik_x x}, & H_y^{(3)}(x, z) &= H_{3y} e^{-\kappa_{1z}z} e^{ik_x x}. \end{aligned} \quad (2)$$

Электрическое поле получим с помощью уравнения  $\nabla \times \vec{H} + i \frac{\omega}{c} \varepsilon \vec{E} = 0$ , входящего в систему уравнений Максвелла для пространства без свободных зарядов и токов. Нам потребуются только  $E_x$ -компоненты. В  $TM$ -волне они вычисляются по формуле  $E_{jx} = -i \frac{c}{\omega \varepsilon_i} \frac{d}{dz} H_{jy}$  и имеют вид:

$$\begin{aligned} E_{1x} &= -i \frac{c\kappa_{1z}}{\omega \varepsilon_1} H_{1y} e^{\kappa_{1z}z} e^{ik_x x}, & E_{2x} &= i \frac{c\kappa_{2z}}{\omega \varepsilon_2} H_{2y} e^{-\kappa_{2z}z} e^{ik_x x}, \\ E_{rx} &= -i \frac{c\kappa_{2z}}{\omega \varepsilon_2} H_{ry} e^{\kappa_{2z}z} e^{ik_x x}, & E_{3x} &= i \frac{c\kappa_{1z}}{\omega \varepsilon_1} H_{3y} e^{-\kappa_{1z}z} e^{ik_x x}. \end{aligned} \quad (3)$$

Будем считать, что границы среды  $i = 2$  расположены при  $z = 0$  и  $z = d$ . Составляем граничные условия равенства тангенциальных компонент полей на этих границах.

$$\begin{aligned} H_{1y} - H_{2y} - H_{ry} + 0 \cdot H_{3y} &= 0 \\ H_{1y} + \frac{\kappa_{2z}\varepsilon_1}{\kappa_{1z}\varepsilon_2} H_{2y} - \frac{\kappa_{2z}\varepsilon_1}{\kappa_{1z}\varepsilon_2} H_{ry} + 0 \cdot H_{3y} &= 0 \\ 0 \cdot H_{1y} + e^{-\kappa_{2z}d} H_{2y} + e^{\kappa_{2z}d} H_{ry} - e^{-\kappa_{1z}d} H_{3y} &= 0 \\ 0 \cdot H_{1y} + \frac{\kappa_{2z}\varepsilon_1}{\kappa_{1z}\varepsilon_2} e^{-\kappa_{2z}d} H_{2y} - \frac{\kappa_{2z}\varepsilon_1}{\kappa_{1z}\varepsilon_2} e^{\kappa_{2z}d} H_{ry} - e^{-\kappa_{1z}d} H_{3y} &= 0 \end{aligned} \quad (4)$$

Вводим обозначение  $K = -\frac{\kappa_{2z}\varepsilon_1}{\kappa_{1z}\varepsilon_2}$ . Составляем детерминант этой системы и приравняем его нулю.

Возникает характеристическое уравнение.

$$(K-1)^2 - (K+1)^2 e^{-2\kappa_{2z}d} = 0 \quad (5)$$

Квадратное относительно  $K$  уравнение имеет следующие корни:

$$-\frac{\kappa_{2z}\varepsilon_1}{\kappa_{1z}\varepsilon_2} = \frac{1+e^{-\kappa_{2z}d}}{1-e^{-\kappa_{2z}d}}, \quad \frac{1-e^{-\kappa_{2z}d}}{1+e^{-\kappa_{2z}d}} \quad (6)$$

Таким образом характеристическое уравнение представляет собой произведение двух сомножителей, каждый из которых может быть равен нулю:

$$\left( \frac{\kappa_{2z}\varepsilon_1}{\kappa_{1z}\varepsilon_2} + \frac{1+e^{-\kappa_{2z}d}}{1-e^{-\kappa_{2z}d}} \right) \left( \frac{\kappa_{2z}\varepsilon_1}{\kappa_{1z}\varepsilon_2} + \frac{1-e^{-\kappa_{2z}d}}{1+e^{-\kappa_{2z}d}} \right) = 0 \quad (7)$$

Все входящие в (7) величины кроме  $\varepsilon_1$  и  $\varepsilon_2$  положительны. Решение существует лишь в том случае, если одно из  $\varepsilon$  отрицательно. Будем поочередно полагать  $\varepsilon_1 < 0$  и  $\varepsilon_2 < 0$ .

Результат расчета показан на рис.2. Обозначения на рис.2 имеют следующий смысл:

$$srs(x, k0, \varepsilon_1, \varepsilon_2) = -\frac{\varepsilon_2}{\varepsilon_1} \frac{1+e^{-d\sqrt{k_x^2-k_0^2}\varepsilon_2}}{1-e^{-d\sqrt{k_x^2-k_0^2}\varepsilon_2}}, \quad ars(x, k0, \varepsilon_1, \varepsilon_2) = -\frac{\varepsilon_2}{\varepsilon_1} \frac{1-e^{-d\sqrt{k_x^2-k_0^2}\varepsilon_2}}{1+e^{-d\sqrt{k_x^2-k_0^2}\varepsilon_2}},$$

$$ls(x, k0, \varepsilon_1, \varepsilon_2) = \frac{\sqrt{k_x^2-k_0^2}\varepsilon_2}{\sqrt{k_x^2-k_0^2}\varepsilon_1}, \quad x \text{ соответствует } k_x. \text{ Толщина слоя } d \text{ равна } 2 \text{ nm}, \text{ волновое число}$$

$k_0 = \frac{2\pi}{\lambda_0}$  принимает два значения  $k_{l0}$  и  $k_{h0}$ , соответствующие длинам волн 245 nm и 172 nm. Такой

выбор значений  $\varepsilon$  для металла и длин волн соответствует серебру. Фрагменты  $a$  и  $b$  относятся к слою металла в диэлектрике, фрагменты  $c$  и  $d$  - к слою диэлектрика в металле.

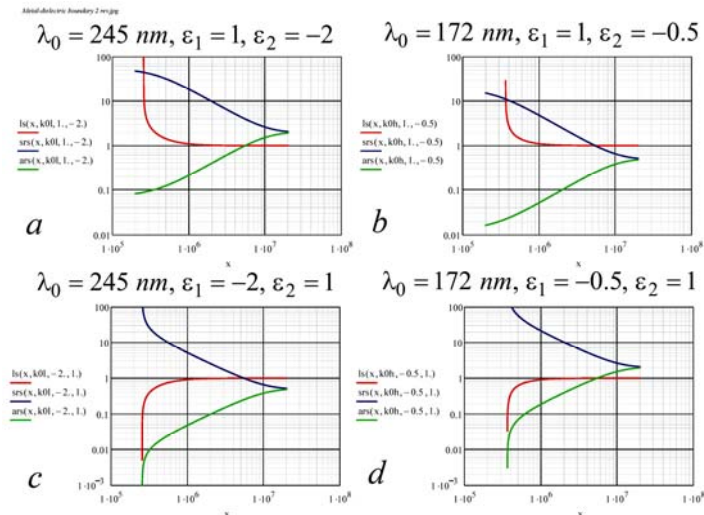


Рис.2.

Следует считать, что на фрагментах  $c$  и  $d$  красные линии пересекаются с зелеными линиями и при малых значениях  $k_x$  (на рисунке -  $x$ ).

Синие и зеленые кривые на рис.2 соответствуют двум ветвям характеристического уравнения (7), которое состоит из двух сомножителей. Рис. 2 демонстрирует два удивительных свойства. Во-1-ых, вопреки тому, что имеет место для одиночной границы раздела металл-диэлектрик, где поверхностные волны существуют лишь при условии  $\varepsilon_{metal} \leq -1$ , на тонких пленках поверхностные волны существуют и при  $-1 < \varepsilon_{metal} < 0$ . Во-2-ых, при  $-1 < \varepsilon_{metal} < 0$  два корня, т. е. два плазмона возникают для одной и той же ветви характеристического уравнения. В случае, изображенном на фрагменте  $a$ , различные ветви

характеристического уравнения соответствовали симметричному и антисимметричному плазмону. Выказанные в данном абзаце соображения относятся к случаю  $\varepsilon_{dielectric} = 1$ .

## 2. Сфера

Начнем с волнового уравнения.

$$\begin{aligned} \nabla \nabla \cdot \vec{C} - \nabla \times \nabla \times \vec{C} + k^2 \vec{C} &= 0, \\ k^2 &= \varepsilon \mu \omega^2. \end{aligned} \quad (1)$$

Уравнение (1) имеет решения вида

$$\vec{L} = \nabla \psi, \quad \vec{M} = \nabla \times \vec{a} \psi, \quad \vec{N} = \frac{1}{k} \nabla \times \vec{M}. \quad (2)$$

Здесь  $\psi$  - решение уравнения

$$\nabla^2 \psi + k^2 \psi = 0, \quad (3)$$

$\vec{a}$  - постоянный вектор единичной длины, разный в разных координатных системах.

В сферических координатах  $r, \theta, \varphi$  решение уравнения (3) имеет вид  $\psi_{e_{mn}} = f_{e_{mn}} e^{-i\omega t}$ , где

$$f_{e_{mn}} = \frac{\cos}{\sin} m \varphi P_n^m(\cos \theta) z_n(kR). \quad (4)$$

Следует допускать, что  $k$  может быть мнимой величиной.

Характеристическое уравнение для собственных волн сферы имеет вид:

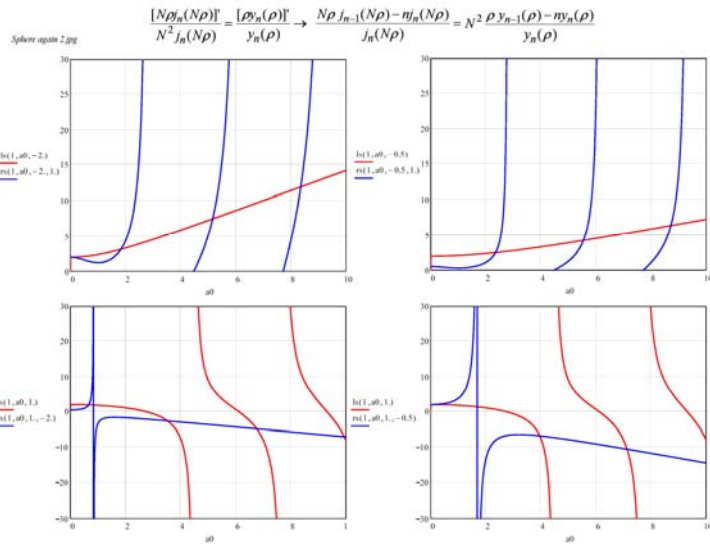
$$\frac{[N \rho j_n(N \rho)]'}{N^2 j_n(N \rho)} = \frac{\mu_2 [\rho y_n(\rho)]'}{\mu_1 y_n(\rho)}. \quad (5)$$

$$k^2 = \varepsilon \mu \omega^2, \quad N = \frac{k_1}{k_2} = \sqrt{\frac{\varepsilon_1}{\varepsilon_2}}, \quad \rho = k_2 a = a \omega \sqrt{\varepsilon_2 \mu_0}, \quad N \rho = a \omega \sqrt{\varepsilon_2 \mu_0} \sqrt{\frac{\varepsilon_1}{\varepsilon_2}} = a \omega \sqrt{\varepsilon_1 \mu_0}.$$

Система единиц – как у Стрэттона, *M.K.S.* или *Giorgi system*, в этой системе единиц скорость света  $c = 1/\sqrt{\varepsilon_0 \mu_0}$ , и поэтому  $k^2$  имеет такой странный вид.  $\varepsilon_1$  относится к среде внутри сферы,  $\varepsilon_2$  - к среде вне сферы,  $\mu_1 = \mu_2 = \mu_0$  в единицах Стрэттона. Обозначим  $a_0 = a \omega \sqrt{\varepsilon_0 \mu_0}$ ,  $\varepsilon_1 / \varepsilon_0 = \varepsilon_{01}$ ,  $\varepsilon_2 / \varepsilon_0 = \varepsilon_{02}$ . После вычисления производных формула (5) принимает вид:

$$\frac{N \rho j_{n-1}(N \rho) - n j_n(N \rho)}{j_n(N \rho)} = N^2 \frac{\rho y_{n-1}(\rho) - n y_n(\rho)}{y_n(\rho)}. \quad (6)$$

Величины  $\varepsilon_{01}$  и  $\varepsilon_{02}$  теперь стали безразмерными, и  $a_0 = a(\omega/c)$ , как в системе CGSE. Функция (6) – либо функция  $a_0$ , либо функция  $\varepsilon_{01}$ , либо  $\varepsilon_{02}$ .



Нам известно лишь одно указание на существование поверхностных волн на границе металл-диэлектрик при  $\epsilon_{diel} = 1$ ,  $-1 > \epsilon_{met} > 0$ . Это указание содержится в работе /1/. Прделанный выше анализ выявил условия существования поверхностных волн при  $\epsilon_{diel} = 1$ ,  $-1 > \epsilon_{met} > 0$ . С практической точки зрения это означает, что устройства нанофотоники с поверхностными волнами могут работать при длине волны в  $\sqrt{2}$  раз более короткой, чем можно было бы думать, если пользоваться известной формулой для волнового числа поверхностного плазмона на одиночной границе раздела  $k_{pl} = k_0 \sqrt{\frac{\epsilon_1 \epsilon_2}{\epsilon_1 + \epsilon_2}}$  и плазменным законом дисперсии для металла  $\epsilon_{met} = 1 - (\omega_{pl} / \omega)^2$ . Для серебра это означает продвижение вплоть до длины волны  $140 \text{ nm}$ .